

УДК 539.224

© 1993

## ТЕПЛОВОЙ ПРОБОЙ ИОННЫХ КРИСТАЛЛОВ, ОБЛУЧАЕМЫХ СИЛЬНОТОЧНЫМИ ПУЧКАМИ ЭЛЕКТРОНОВ

*B. C. Kovivchak, I. S. Stolетов*

Рассмотрена инициация процесса разрушения ионных кристаллов, облучаемых сильноточными пучками электронов наносекундной длительности. Впервые установлено, что многократное облучение ионных кристаллов с высокой наведенной радиационной проводимостью электронными пучками с плотностью ниже порога механического разрушения приводит к появлению на поверхности кристаллов вблизи кромки коллимирующего отверстия матовой области, представляющей собой совокупность сферических частиц, кратеров и отверстий различной формы, которые могут являться очагами образования микро- и макротрещин. Предположено, что основным механизмом, ответственным за наблюдаемое повреждение ионных кристаллов, является их тепловой пробой, определяющую роль в инициации и развитии которого играет СЭП.

Несмотря на длительное изучение разрушения высокоомных диэлектриков при облучении сильноточными электронными пучками (СЭП), нет однозначного понимания роли электрических процессов в инициировании этого явления. Так, авторы работ [1–4] считают электрический пробой за счет ударной ионизации основной причиной разрушения ионных кристаллов. В то же время, по мнению авторов работы [5], высокая наведенная радиационная проводимость большинства ионных кристаллов, облучаемых СЭП, делает пренебрежимо малой вероятность электрического пробоя в области пробега электронного пучка при плотностях потока электронов, вызывающих раскол ионных кристаллов, из-за небольшой ( $\sim 10^4$  В/см) напряженности электрического поля в этой области, и поэтому электрический пробой не может играть определяющую роль в этом явлении.

Целью настоящей работы является исследование инициирования процессов разрушения ионных кристаллов, облучаемых СЭП в геометрии, традиционно используемой для выяснения механизмов разрушения.

Источником электронов служил импульсный ускоритель со следующими параметрами: максимальная энергия электронов 0.3 МэВ, длительность импульса облучения 5–20 нс, плотность тока 0.01–1.2 кА/см<sup>2</sup>, максимальная частота следования импульсов 0.1 Гц.

Эксперименты выполнены на кристаллах NaCl, KCl, KBr, NaF, LiF размером 10 × 10 мм, толщину которых варьировали от 0.6 до 4 мм. Облучение образцов проводилось через заземленный коллиматор с отверстием диаметром 3 мм. Исследование образцов после облучения проводили с использованием методов оптической и электронной микроскопии.

Впервые установлено, что многократное облучение исследуемых материалов СЭП с плотностью ниже порога хрупкого разрушения приводит к появлению на поверхности кристалла вблизи кромки коллимирующего отверстия матовой кольцеобразной области (рис. 1, а), хорошо наблюдаемой на металлизированной поверхности кристалла. Нанесение на поверхность кристалла тонкой алюминиевой фольги (или пленки) с последующим ее заземлением приводит к исчезновению кольцеобразной структуры, остаются отдельные рассеивающие свет небольшие скопления, располагающиеся вблизи различных поверхностных дефектов. Ука-

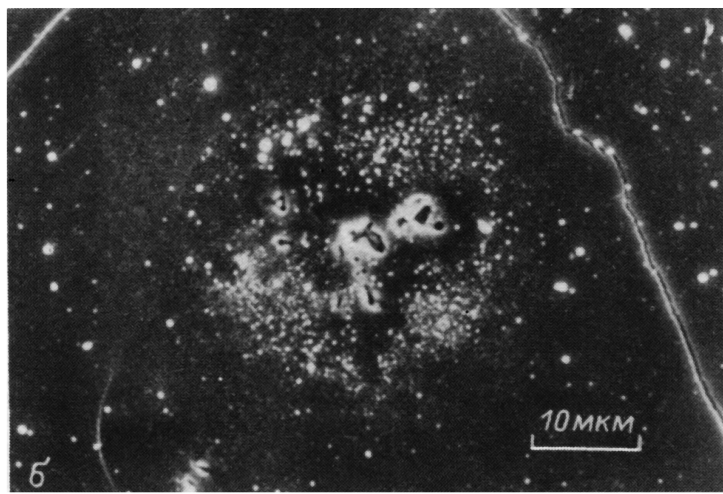
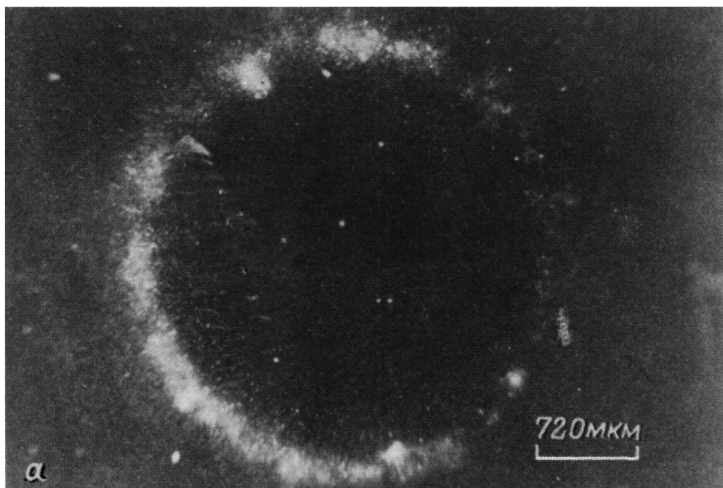


Рис. 1. Вид поверхности кристалла KCl после воздействия СЭП (90 импульсов) в оптическом (а) и электронном (б) микроскопе.

занная структура наблюдается на образцах исследованных кристаллов, выколотых в различных кристаллографических направлениях.

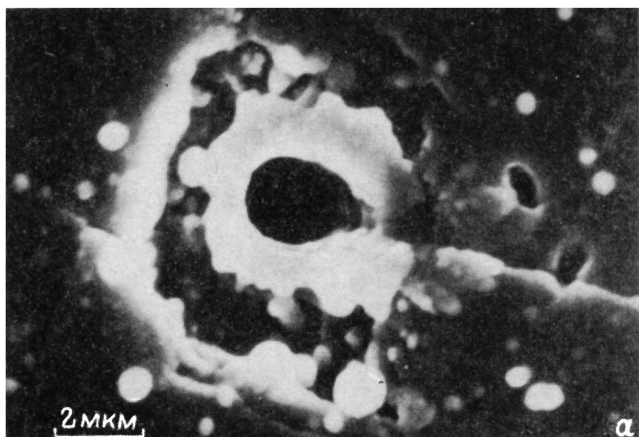
Исследования кристаллов, проведенные с помощью оптической и электронной микроскопии, показали следующее.

1. Обнаруженная структура представляет собой совокупность скоплений (рис. 1, б) отдельных почти сферической формы частиц, расположенных по границам области облучения, в центральной части которых находятся кратеры и отверстия различной формы (рис. 2, а), глубина которых в исследованных условиях составляет, как правило, несколько мкм.

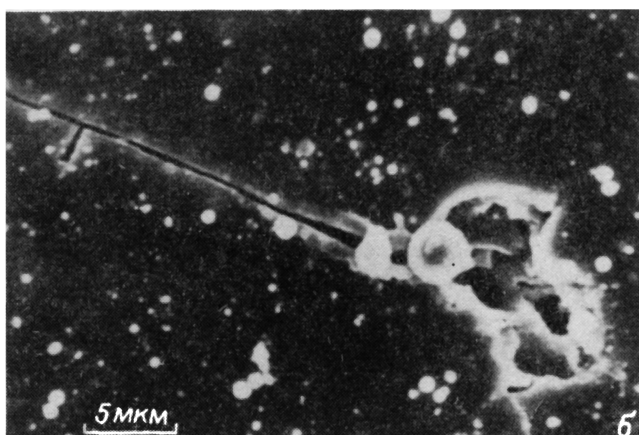
2. Отверстия и кратеры могут являться очагами образования микро- и макротрещин (рис. 2, б).

3. Увеличение числа импульсов облучения при остальных неизменных параметрах пучка приводит к увеличению числа и размеров кратеров, частиц, трещин.

4. Увеличение (уменьшение) плотности потока электронов приводит к уменьшению (увеличению) числа импульсов облучения, необходимых для появления



а



б



в

Рис. 2. Типичные повреждения, вызванные воздействием СЭП в кристалле KCl (а) (б — образование из них микротрешина) и в низкоомном германии (в).

кратеров и каналов. Описанные повреждения обнаружены также при однократном воздействии СЭП с плотностью  $\sim 8 \cdot 10^{13} \text{ см}^{-2}$ , при которой происходит множественное разрушение образца в области облучения.

5. Вблизи кромки коллимирующего отверстия в объеме исследованных кристаллов не обнаружено остаточных каналов, характерных для электрического пробоя за счет ударной ионизации.

6. В аналогичных условиях в области облучения LiF (как на поверхности, так и в объеме) видны каналы электрического пробоя. При дальнейшем увеличении числа импульсов облучения на поверхности LiF вблизи кромки коллимирующего отверстия также появляется аналогичная кольцеобразная область, содержащая меньшее, чем на других кристаллах, число кратеров и отверстий.

Из полученных результатов можно сделать вывод о том, что при облучении ионных кристаллов происходит значительная концентрация энергии в небольших областях кристалла вблизи кромки коллимирующего отверстия, приводящая к нагреву, плавлению и частичному испарению материала в этих областях с последующим выбросом и кристаллизацией жидкой фазы, о чем говорит сферическая форма частиц. Наличие больших градиентов температур вблизи области формирования отверстий и кратеров, а также высокие давления испаренного материала могут приводить к возникновению микротрещин в этих областях. Авторы работ [1-4] считают, что единственным механизмом, ответственным за концентрацию энергии в локальных областях диэлектрика, облучаемого СЭП, является электрический пробой за счет ударной ионизации материала, связанной с генерацией сильных электрических полей.

Однако заметим, что существует ряд фактов:

1) отсутствие в исследованных материалах вблизи кромки коллимирующего отверстия остаточных каналов, характерных для электрического пробоя за счет ударной ионизации;

2) отсутствие преимущественной локализации каналов электрического пробоя вблизи кромки коллимирующего отверстия в LiF (в области облучения которого реализуется пробой за счет ударной ионизации), несмотря на создаваемое там неоднородное электрическое поле;

3) более раннее (т. е. при меньшем числе импульсов облучения) появление каналов электрического пробоя в области облучения LiF, чем образуется кольцеобразная структура повреждений, несмотря на имеющуюся неоднородность поля вблизи кромки коллимирующего отверстия;

4) отсутствие кристаллографической ориентации наблюдаемых повреждений;

5) увеличение числа кратеров на поверхности при увеличении числа импульсов облучения (в то время как при электрическом пробое за счет ударной ионизации [3] число выходов каналов пробоя на облучаемую поверхность не увеличивается);

6) приповерхностный характер концентрации энергии в локальных областях материала вблизи кромки коллимирующего отверстия (в отличие от объемного, происходящего на глубине 70–180 мкм при развитии стриммерных разрядов [4]).

Их нельзя корректно объяснить с точки зрения существующих представлений об электрическом пробое диэлектрика, облучаемого СЭП.

В [5] было установлено, что в ионных кристаллах, обладающих высокой наведенной радиационной проводимостью, примерно 90–99% инжектированного в образец заряда стекает за время импульса облучения. Можно предположить, что, поскольку практически весь инжектированный в образец заряд стекает на кромку коллиматора, по локальным участкам небольшой кольцеобразной области материала (шириной  $< 100$  мкм) вблизи кромки коллимирующего отверстия протекает ток, плотность которого значительно превышает плотность тока электронного пучка. Высокая объемная плотность выделяющейся при этом энергии

приводит к сильному разогреву участков этой области кристалла, имеющих более низкое сопротивление. Повышение температуры ведет к снижению их сопротивления за счет тепловой генерации носителей заряда, перераспределению тока в этой кольцеобразной области, дальнейшему росту тока и температуры этих участков и в конечном итоге к плавлению, испарению и, возможно, ионизации испаренного материала. Описанный выше процесс, представляющий собой по сути тепловой пробой, инициируемый СЭП, происходит за время, сравнимое с длительностью электронного облучения.

Для проверки предложенного механизма разрушения проводилось исследование материалов, в которых из-за высокой проводимости невозможно реализовать электрический пробой за счет ударной ионизации. В качестве таких материалов выбраны германий *p*-типа и кремний *n*-типа с удельной проводимостью 0.06—0.3 Ом<sup>-1</sup>·см<sup>-1</sup>, что сравнимо с полученной в работе [5] удельной импульсной проводимостью КВг, облучаемого СЭП. При обеспечении условий стекания заряда, таких же как для ионных кристаллов, на поверхности германия и кремния была получена аналогичная кольцеобразная структура повреждений. Особенность повреждения этих материалов (рис. 2, в) являются значительно меньший размер и число кратеров, отверстий, что, возможно, связано с шнуркованием тока, обусловленным сильной зависимостью проводимости полупроводников от температуры.

Таким образом, из полученных данных можно сделать вывод о том, что наиболее вероятным механизмом, ответственным за наблюдаемое повреждение ионных кристаллов с высокой наведенной радиационной проводимостью, а также низкоомных полупроводников, является тепловой пробой, определяющую роль в инициации и развитии которого играет СЭП. Специфика электронного воздействия приводит к тому, что такой пробой в отличие от классического происходит за время порядка длительности импульса облучения (т. е. за десятки наносекунд). Данное явление необходимо учитывать при анализе поведения различных материалов, облучаемых сильноточными пучками заряженных частиц, и выявлении механизмов их разрушения.

#### Список литературы

- [1] Олешко В. И., Штанько В. Ф. // ЖТФ. 1986. Т. 56. № 6. С. 1235—1236.
- [2] Олешко В. И., Штанько В. Ф. // ФТТ. 1987. Т. 29. № 2. С. 320—324.
- [3] Олешко В. И., Штанько В. Ф. // ЖТФ. 1987. Т. 57. № 9. С. 1816—1818.
- [4] Штанько В. Ф., Олешко В. И. // ЖТФ. 1989. Т. 59. № 3. С. 99—105.
- [5] Высокоэнергетическая электроника твердого тела / Под ред. Д. И. Вайсбурда. Новосибирск: Наука, 1982. 227 с.

Эмский государственный университет

Поступило в Редакцию

8 апреля 1991 г.

В окончательной редакции

28 июля 1992 г.